

## بررسی اثر آنژیوتانسین II بر میزان بیان شدن پروتئین‌های اینتگرین $\alpha_3$ و $\beta_3$ در سلول‌های ملانومای B16-F10

نیوش اسفندیاری یگانه<sup>۱</sup> (Pharm.D.), نازنیک<sup>۲</sup> گالوستانیان<sup>۱</sup> (Pharm.D.), آیدا نصیرزاده گلچاهی<sup>۱</sup> (Pharm.D.), مریم قدرتی<sup>۱</sup> (B.Sc.)، روینا بغویان<sup>۳</sup> (M.Sc.)، الهام رسولی<sup>۱</sup> (Pharm.D.), الهام عباسی<sup>۱</sup> (Pharm.D.), ارکیده قرباندادرس<sup>۱</sup> (Ph.D.), مازیار محمدآخون<sup>۲\*</sup> (Ph.D.)

- دانشگاه آزاد اسلامی واحد علوم دارویی تهران
- دانشگاه علوم پزشکی شهید بهشتی، بیمارستان شهدای تجریش، مرکز تحقیقات پوست، آزمایشگاه پروتئین و آنزیم
- دانشگاه علوم پزشکی تهران، گروه ایمونولوژی

### چکیده

سابقه و هدف: گزارش‌های مختلف بیان گر نقش آنتاگونیست‌های گیرنده آنژیوتانسین II در مهار رشد تومورهای مختلف است. در چند مطالعه اخیر مشاهده شده که آنژیوتانسین II می‌تواند بیان شدن برخی از فاکتورهای مهم در رشد تومورها را افزایش دهد. علاوه بر این نقش اینتگرین‌ها در رشد و متاستاز سلول‌های توموری مختلف اهمیت زیادی دارد ولی نقش آنژیوتانسین II در میزان بیان شدن اینتگرین‌های سلول تومورال هنوز معلوم نیست.

مواد و روش‌ها: با تزریق سلول‌های B16-F10 به صورت sc در موش‌های آزمایشگاهی C57، تومور ملانوما ایجاد گردید. لوزارتان از طریق داخل صفاقی به حیوانات آزمایشگاهی تزریق گردید. علاوه بر آن با کشت سلول‌های B16-F10، این سلول‌ها در معرض آنژیوتانسین II با یا بدون حضور لوزارتان برای مدت دو ساعت قرار گرفتند و میزان بیان شدن اینتگرین‌های  $\alpha_3$ ,  $\alpha_V$  و  $\beta_3$  توسط روش وسترن‌بلات اندازه‌گیری شد. روز ۱۸

یافته‌ها: در مدل حیوانی، اندازه تومور در حیوانات گروه لوزارتان نسبت به گروه کنترل در دو روز آخر اندازه‌گیری به صورت معنی‌داری کوچک‌تر بود (روز ۱۷ و ۱۸ به ترتیب  $P = 0.0015$ ,  $P = 0.013$ ). در کشت سلول‌های B16-F10، آنژیوتانسین II موجب افزایش بیان شدن اینتگرین‌های مورد مطالعه گردید ( $P = 0.049$ ),  $\alpha_V$  ( $P = 0.049$ ) و  $\beta_3$  ( $P = 0.037$ ).

نتیجه‌گیری: نقش آنژیوتانسین II در افزایش رشد تومور ملانوما می‌تواند به دلایلی از جمله افزایش بیان شدن اینتگرین‌های  $\alpha_3$ ,  $\alpha_V$  و  $\beta_3$  بروز نماید که توسط لوزارتان مهار می‌شود. در مدل حیوانی ملانوما نیز لوزارتان با مهار گیرنده‌های AT1 موجب رشد تومور گردید. این مطالعه اهمیت استفاده از داروهایی مثل لوزارتان را در کنار درمان‌های استاندارد تومورها بیان می‌نماید.

### واژه‌های کلیدی: ملانوما، اینتگرین، آنژیوتانسین II، لوزارتان

### مقدمه

انواع مختلف سرطان از جمله سرطان‌های پستان، ریه، معده، تخدان و ملانوما می‌باشد [۱-۵].

Shawad نشان‌دهنده ارتباط میان آنژیوتانسین و متاستاز در

به تازگی نقش آنتاگونیست‌های رسپتور  $AT_1$  در مهار رشد تومورهای مختلف مورد توجه قرار گرفته است. در سلول ملانومای انسانی آژیوتانسین II و گیرنده ( $AT_1$ ) بیان می‌شود و مشاهده شده است که در موش‌های فاقد گیرنده ( $AT_1$ ) به طور چشم‌گیری عروق کاهش پیدا کرده است [۱۶]. با توجه به مطالب گفته شده در بالا بررسی ارتباط احتمالی میان آژیوتانسین II و اینتگرین‌ها اهمیت می‌یابد. در صورتی که ارتباط معنی‌داری از نظر اثر آژیوتانسین II بر میزان بیان اینتگرین‌ها یافت شود مکانیسم اثر و امکان استفاده از داروهای مهارکننده رسپتور آژیوتانسین II در درمان ملانوما روش‌تر گردیده و بررسی این موضوع در بیماران کاربرد واضح‌تری می‌یابد.

## مواد و روش‌ها

تهیّه دارو. آژیوتانسین II leupeptin، aprotinin، II phenyl methyl sulfonyl fluorid (PMSF) (سنت‌لوئیس، MO، USA) خریداری شد، لوزارتان Dimethyl Sulfoxide (Merck)، (Santacruz) RPMI-1640، سرم جنین گاو (FBS)، تریپسین، پنی‌سیلین و استرپتومایسین از GIBCO خریداری شد. تمامی آنتی‌بادی‌های اولیه در برابر اینتگرین‌های  $\alpha_v$ ,  $\alpha_3$ ,  $\beta_3$  و اکتین و همچنین آتشی‌بادی ثانویه HRP goat anti rabbit از Santacruz خریداری شد. کیت سنجش اندازه‌گیری پروتئین Pierce، فیلم CL-Xposure و ECL و سترن‌بلاط از BCA (USA، IL، Rockford) خریداری شد. غشاء Polyvinylidenedifluoride (PVDF) از Millipore (USA، Bedford) بود. تمام مواد و معرفه‌های مورد استفاده از Merck خریداری شد.

آزمایشات حیوانی موش‌های آزمایش‌گاهی C57 ماده با وزن حدود ۲۰ گرم که همگی از انتستیتوپاستور ایران دریافت شده بودند به صورت اتفاقی در دو گروه ۱۰ تایی تقسیم شدند، برای این‌که موش‌های مورد مطالعه با شرایط حیوان خانه تطابق پیدا کنند به مدت یک هفته پیش از شروع کار در

برخی گزارش‌ها حاکی از احتمال نقش آژیوتانسین II در تقویت بیان شدن انواع اینتگرین‌ها می‌باشد [۶ و ۷] که به عنوان مولکول‌های اتصال سلولی توصیف می‌شوند. این گلیکوپروتئین‌ها هترودیمرهایی از زنجیره‌های پلی‌پیتیدی آلفا (α) و بتا (β) هستند [۸] که در فرآیندهای سلولی زیادی نظریه‌ها، تکثیر، متاستاز و در انواع زیادی از سرطان‌ها نظیر ملانوما دخالت دارند. به علاوه نقش مهمی در آنوفیکس (مرگ برنامه‌ریزی شده سلولی در نتیجه جدا شدن سلول از ماتریکس)، انتقال سیگنان، بیان ژن، تکثیر سلولی، کنترل آپوپتوز، التهاب، تمایز بافت، هموستاز و آژیوتانز دارند [۱۳-۱۴]. به استثنای گلبول‌های قرمز، تمام سلول‌های انسانی یک یا چند هترودیمر اینتگرین را بیان می‌کنند [۱۵].

به نظر می‌رسد که بیان برخی از زیرواحدهای اینتگرین‌ها در سلول‌های تومور ملانوما در مقایسه با ملانوسیت‌های طبیعی افزایش می‌یابد. به طور مثال زیرواحدهای  $\alpha_1$ ,  $\beta_1$ ,  $\alpha_v$ ,  $\beta_3$  و  $\alpha_3$  از جمله این زیرواحدها هستند [۱۵].

تجزیه و تحلیل در مراحل مختلف پیش‌رفت سرطان پوست نشان داده است که افزایش بیان اینتگرین‌های  $\beta_1$ ,  $\beta_3$  و  $\alpha_v$  انتقال ملانوما از مرحله رشد شعاعی به فاز رشد عمودی را زیاد می‌کند. این پدیدهای است که بیشتر با رگ‌زایی جدید و سریع و متاستاز سلول‌های تومور ارتباط دارد. این اینتگرین‌ها برای بقای سلول‌های اندوتیال تومور لازم بوده و مهار آن‌ها موجب مهار رگ‌زایی در تومور می‌گردد [۱۵].

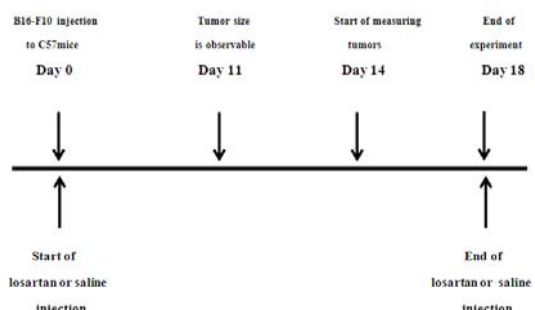
گزارش شده که آژیوتانسین II بیان اینتگرین‌های  $\beta_5$ ,  $\beta_1$ ,  $\beta_3$  و  $\alpha_v$  را در فیبروبلاست‌های قلبی با فعال‌سازی گیرنده ( $AT_1$ ) کنترل می‌کند که این سوال را به ذهن می‌آورد که آیا این اکتاپیتید در تغییر بیان شدن اینتگرین‌ها در سلول ملانوما هم نقش دارد یا نه؟ از جمله دلایل اهمیت اینتگرین‌ها در رشد و متاستاز تومور این واقعیت است که در حال حاضر آنتاگونیست چند اینتگرین ( $\alpha_5\beta_1$ ,  $\alpha_v\beta_3$ ,  $\alpha_v\beta_5$  و  $\alpha_v\beta_1$ ) تحت ارزیابی در کارآزمایی‌های بالینی برای تعیین پتانسیل به عنوان مصرف داروهای خاص برای سرطان می‌باشند [۶].

شدند و در انکوباتور  $\text{CO}_2$  ۵٪ و  $37^{\circ}\text{C}$  نگهداری شدند. برای آزمایش، سلول‌ها ۱۰۶ سلول در هر فلاسک) در فلاسک  $75 \text{ cm}^2$  در ۸ میلی‌لیتر محیط رشد کردند. در مورد آزمایشات حیوانی که شامل تزریق سلول‌ها به موش‌های C57 بود، سلول‌های کشت شده با کمک تریپسین (w/v ۰/۰۵٪ به مدت ۳ دقیقه در دمای اتاق جدا می‌شد. سپس با استفاده ۳ برابر حجم تریپسین از RPMI-1640 رقيق شده و سلول‌ها توسط سانتریفیوز با دور ۱۲۰۰ rpm به مدت ۱۰ دقیقه در ۴ درجه سانتی‌گراد تهییش می‌شدند. محلول رویی بیرون ریخته شد و ۱ میلی‌لیتر RPMI-1640 به هر لوله اضافه شد و در ۴۰۰۰ rpm به مدت ۱۵ دقیقه در ۴ درجه سانتی‌گراد سانتریفیوز می‌شدند. این سلول‌ها پس از شمارش در نرمال سالین پراکنده شده و با تعداد و حجم مناسب برای تزریق استفاده می‌شدند. در زمانی که نیاز به استفاده از سلول‌ها برای آزمایشات شامل انکوباسیون با آنزیوتانسین II بود به مدت ۲۴ ساعت قبل از آزمایش، محیط کشت سلول‌ها با محیط کشت بدون سرم تعویض می‌شد. سلول‌های مورد آزمایش با RPMI-1640 بدون سرم دارای آنزیوتانسین II (0M,  $10^{-8}\text{M}$ ) به تهایی و یا در ترکیب با لوزارتان (0M,  $10^{-6}\text{M}$ ) در سرم انکوبه می‌گردید و ۲ ساعت زمان انکوبه شدن به منظور تعیین اثر آنزیوتانسین II با یا بدون لوزارتان بر این اینتگرین‌های  $\alpha_3$ ,  $\beta_3$  و  $\alpha_7$  در سلول B16F10 مورد استفاده قرار گرفت [۱۹]. پس از گذشت زمان انکوبه شدن، سلول با استفاده از تریپسین به همان ترتیبی که در بالا گفته شد جدا شده و رسوب سلول‌ها در دمای  $0^{\circ}\text{C}$ -۸۰- برای استفاده‌های بعدی ذخیره شد.

با استفاده از روش وسترن‌بلاط، تغییر در سطح بیان عوامل متعددی ناشی از آنزیوتانسین II در سلول‌های ملانوما مورد مطالعه قرار گرفت. اثر مهاری لوزارتان نیز به طور جداگانه مورد بررسی قرار گرفت. پس از پرسه انکوباسیون با آگونیست و آنتاگونیست، سلول‌ها در دمای  $0^{\circ}\text{C}$ -۸۰- نگهداری شدند تا در چندین آزمون وسترن‌بلاط با استفاده از آنتی‌بادی بر علیه پروتئین‌های هدف استفاده شوند. سلول ملانوما موش

حیوان خانه نگهداری شدند. در طول آزمایش این موش‌ها در دو قفس جداگانه پلی‌اتیلنی در یک چرخه شبانه‌روزی ۱۲ ساعت روشنایی و ۱۲ ساعت تاریکی و همچنین دمای ۲۲-۲۴ درجه سانتی‌گراد قرار گرفتند و آب و غذا در دسترس آن‌ها قرار داشت.

همانگونه که در شکل ۱ مشاهده مشاهده می‌شود پس از تزریق سلول‌های کشت شده ملانوما (B16-F10 روز ۰) به تعداد پانصد هزار سلول در ۲۰۰ میکرولیتر نرمال سالین در زیر جلد موش‌های C57 مورد آزمایش، طی حدود یازده روز تومور قابل مشاهده در محل تزریق این موش‌ها مشخص گردید. بلاعده پس از تزریق سلول‌ها هر روز در ساعت مشخص مقدار ۱۰۰ میکرولیتر لوزارتان با غلظت به صورت داخل صفاقی تزریق می‌گردید. دوز لوزارتان با استفاده از داده‌های مقاله Otake و همکاران تعیین گردید [۱] و با توجه به این‌که از روز چهاردهم تومورها در تمام موش‌ها ایجاد شد هر روز قبل از تزریق دارو یا نرمال سالین اندازه تومور با کمک یک کولیس و با فرمول  $V=[L \times W^2] \times 0.52$  ثبت می‌گردید. در این فرمول  $V$  برای حجم تومور،  $L$  برای طول تومور و  $W$  برای نشان دادن قطر تومور استفاده گردیده‌اند [۱۷].



شکل ۱. نمودار زمانی انجام آزمایشات حیوانی

کشت سلولی. همان‌گونه که در مقاله دیگری توصیف شده است، سلول‌های ملانومای موشی B16-F10 در محیط RPMI-1640 همراه با ۱۰٪ سرم جنین گاو (FBS) کشت داده

(Sc2004) (1:20000), HRP goat anti rabbit IgG برای اندازه‌گیری اینتگرین  $\alpha_3$  از آنتی‌بادی اولیه ضد اینتگرین 28665 (Sc 28665) (1:100) و آنتی‌بادی ثانویه (Sc 14009) (1:100)، آنتی‌بادی ثانویه (Sc2004) (1:2000) goat anti rabbit IgG HRP برای اندازه‌گیری اینتگرین  $\beta_3$  از آنتی‌بادی اولیه ضد اینتگرین 130656 (Sc130656) (1:300) استفاده شد.

نهایت برای اندازه‌گیری اکتین از آنتی‌بادی ضد اکتین (Sc2004) (1:2000) HRP goat anti rabbit IgG توسط یک دانسیتو متر (GS-800) و نرم‌افزار Gel-Pro (GS-800) با استفاده از کیت تشخیص Chemiluminescence پاندها با استفاده از کیت ECL با توجه به دستورالعمل سازنده صورت گرفت و نتایج توسط یک دانسیتو متر (GS-800) و نرم‌افزار Gel-Pro با استفاده از کیت تشخیص Chemiluminescence.

t-Test: paired two آنالیز آماری. از آزمون آماری Excel برای مقایسه بین دو گروه مجزا توسط باشد، تفاوت‌های آماری معنی‌دار تلقی می‌شوند. نتایج ارائه شده از ۳ آزمایش مستقل به دست آمده است.

## نتایج

لوزارتان با غلظت به کار رفته توانست میزان رشد تومور را به صورت معنی‌داری مهار نماید. همان‌گونه که در شکل ۲ می‌توان مشاهده کرد تعداد  $5 \times 10^5$  سلول B16-F10 به صورت زیر جلدی در پهلوی راست موش‌های C57 تزریق گردید تا تومور ملانوما در این موش‌ها ایجاد گردد. لوزارتان (۲۰۰ mg/kg) به صورت داخل صفاقی به موش‌های گروه لوزارتان تزریق گردید و نرمال سالین هم به موش‌های گروه کنترل به همان ترتیب تزریق شد. اندازه تومور در حیوانات گروه لوزارتان نسبت به گروه کنترل در دو روز آخر اندازه‌گیری به صورت معنی‌داری کوچک‌تر می‌باشد (روز ۱۷ و ۱۸ به ترتیب  $P=0.0015$ ،  $P=0.013$ ). به این ترتیب مشاهده می‌گردد که استفاده از یک داروی مهارکننده

بسیار متاستاتیک B16F10 با کد بانک سلولی NCBI C-540 از بانک سلولی ملی ایران (انستیتو باستور، تهران، ایران) دریافت شده است.

اندازه‌گیری پروتئین تام. سلول‌های B16F10 در بافر لیزکننده زیر با کمک دستگاه هموژنایزر ultra turrax هموژن شدنند.

Buffer A: 137 mM NaCl, 20mM Tris-HCl, pH 8.0, 10% glycerol, 1% tergitol NP-40, 0.5mM sodium orthovanadate, 1mM phenylmethylsulfonyl fluride, 1 $\mu$ g/mL leupeptin, 10 $\mu$ g/mL aprotinin

Buffer B: 137 mM NaCl, 20mM Tris-HCl, pH 8.0, 10% glycerol, 1% tergitol NP-40, 0.5mM sodium orthovanadate, 1mM phenylmethylsulfonyl fluride, 1 $\mu$ g/mL leupeptin, 10 $\mu$ g/mL aprotinin, 0.1% sodium dodecysulfate [SDS], 1% Triton X-100

سلول لیز شده برای حذف اجزای نامحلول به مدت ۳۰ دقیقه در ۴°C، با دور ۱۲۵۰۰ g سانتریفوژ شد. سپس غلظت پروتئین تام با استفاده از کیت سنجش پروتئین میکرو BCA با توجه به دستورالعمل کیت تعیین شد. عصاره سلولی در ۸۰°C- ذخیره شده تا مورد استفاده قرار گیرد.

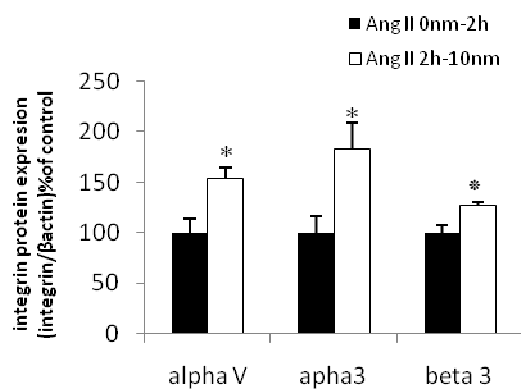
وسترن‌بلاط. همان‌گونه که در مقاله دیگری توصیف شده است، بیان اینتگرین‌های  $\alpha_3$  و  $\beta_3$  و  $\alpha_7$  در سلول لیز شده است. توسط وسترن‌بلاط مورد بررسی قرار گرفت [۱۹].

برای SDS-PAGE، مقدار ۱۰۰ میکروگرم پروتئین از هر نمونه بر روی ژل پلی‌اکریل آمید ۷/۵٪ قرار گرفت و توسط الکتروفورز از هم جدا شدند. پروتئین‌ها به غشاء PVDF منتقل شده و پس از آن با شیر خشک ۵٪ و ۱٪ tween در بافر Tris-buffered saline (TBS) به مدت ۱ ساعت در دمای اتاق بلاک شدند. غشاء در تماس با آنتی‌بادی اولیه علیه پروتئین‌های هدف به مدت ۱ ساعت در دمای اتاق قرار گرفت و سپس با آنتی‌بادی ثانویه مناسب به مدت ۱ ساعت در دمای اتاق انکویه شدند. اکتین به عنوان استاندارد داخلی برای تجزیه و تحلیل وسترن‌بلاط استفاده شد. برای تعیین کمیت پروتئین‌های هدف، نتیجه اسکن فیلم دانسیتو متر به نسبت میزان اکتین محاسبه شد.

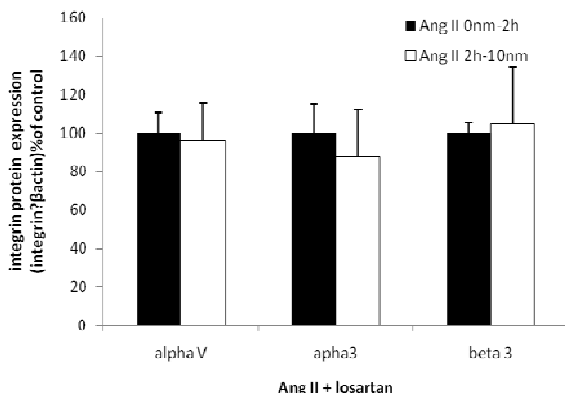
برای اندازه‌گیری اینتگرین  $\alpha_7$  از آنتی‌بادی اولیه ضد اینتگرین  $\alpha_7$  (sc10719) (1:100) و آنتی‌بادی ثانویه

شکل ۳ نشان داده شده است، آنژیوتانسین II با غلظت ۱۰ نانومولار در زمان موردنظر ۲ ساعت) سطح بیان اینتگرین های  $\alpha_3$  و  $\beta_3$  را افزایش داد.

Integrin  $\alpha_V$  (P value: 0.049), Integrin  $\alpha_3$  (P value: 0.016), Integrin  $\beta_3$  (P value: 0.037) همچنین برای تأیید شرکت داشتن گیرنده AT1 در اثر افزایشی آنژیوتانسین II در بیان اینتگرین های  $\alpha_v$ ,  $\alpha_3$  و  $\beta_3$  یک سری آزمایشات مستقل با همان غلظت آنژیوتانسین II و زمان انکوباسیون انجام شد. با این تفاوت که سلول های ملانوما در مععرض آنژیوتانسین II و لوزارتان با غلظت ( $10^{-6}$  مولار) قرار داده شدند.

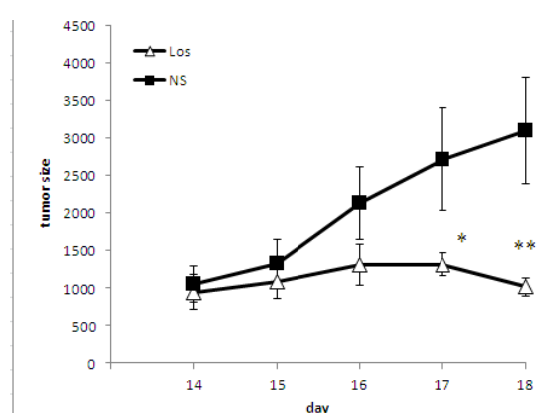
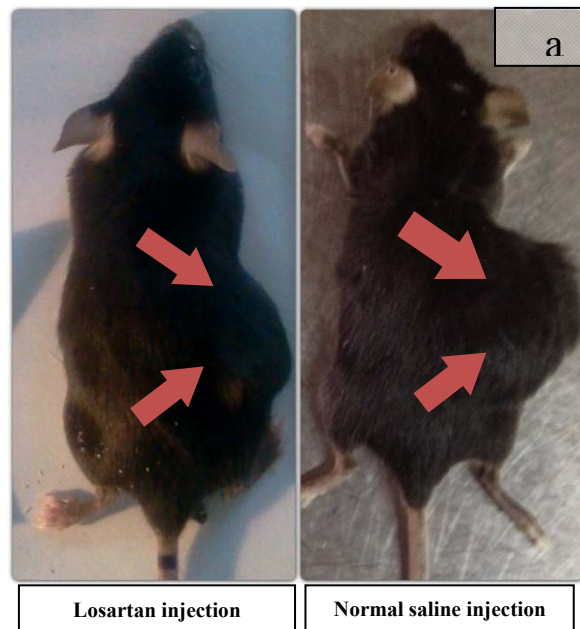


شکل ۳-۳ افزایش بیان اینتگرین های  $\alpha_3$  و  $\beta_3$  در سلول های ملانوما توسط آنژیوتانسین II. سلول های B16-F10 ۲ ساعت در مععرض آنژیوتانسین II با غلظت ( $10^{-6}$  نانومولار) قرار گرفتند. نتایج به صورت درصد نسبت به گروه کنترل در همان زمان انکوباسیون نشان داده شده است. هر مقدار نشان دهنده Mean $\pm$ SEM می باشد. (\*p<0.05) (n=3)



شکل ۴. مهار اثر افزایشی آنژیوتانسین II بر بیان اینتگرین ها توسط لوزارتان. سلول های B16-F10 ۲ ساعت در مععرض آنژیوتانسین II با غلظت ( $10^{-6}$  نانومولار) و لوزارتان با غلظت ( $10^{-6}$  مولار) قرار گرفتند. نتایج به صورت درصد نسبت به گروه کنترل در همان زمان انکوباسیون نشان داده شده است. هر مقدار نشان دهنده Mean $\pm$ SEM است. (n=3)

گیرنده های آنژیوتانسین II می تواند به خوبی در مهار رشد تومور موثر باشد. برای بررسی این که آیا مکانیسم عمل کرد آنژیوتانسین II در سلول های ملانوما شامل تغییر میزان بیان اینتگرین های  $\alpha_v$ ,  $\alpha_3$  و  $\beta_3$  می شود یا نه از یک مدل کشت سلول های ملانوما موشی استفاده گردید.



شکل ۲. مهار رشد تومور ملانوما در موش های C57 توسط لوزارتان. (a) لوزارتان تزریقی در موش های مبتلا به تومور ملانوما توانست جلوی رشد تومور را بگیرد. (b) در موش هایی که لوزارتان دریافت می کردند، اندازه تومور به صورت معنی داری کوچکتر از گروه کنترل بود که نرمال سالین دریافت می نمودند. هر مقدار نشان دهنده Mean $\pm$ SEM می باشد. (n = 7) (ANOVA, \*p<0.05, \*\* p<0.01)

مقدار غلظت پروتئین تام سلول های B16-F10 توسط روش میکرو BCA و سطح بیان اینتگرین های  $\alpha_v$ ,  $\alpha_3$  و  $\beta_3$  توسط روش وسترن بلات اندازه گیری شد. همان طور که در

چگونگی و مکانیسم چنین اثر مفیدی در تومورهای مختلف آغاز شود [۱۹،۴،۱].

بر اساس نتایج این مطالعه تزریق داخل صفاقی وزارتان توانست جلوی رشد تومورها را به صورت معنی‌داری بگیرد که در انطباق با نتایج سایر مطالعاتی است که از این دارو در رابطه با تومورها استفاده کرده‌اند [۱]. اثر آتناگونیست در مهار رشد تومور به خوبی نقش مرکزی آگونیست گیرنده‌های مهار شده را در رشد تومور سرطانی روشن می‌کند. در این مورد استفاده از وزارتان به عنوان داروی کمکی در درمان دست کم برخی از تومورها توجیه علمی دارد. اما این‌که مکانیسم اثر آنزیوتانسین II در رشد تومور ملانوما چیست سوال دیگری است که نیاز به بررسی‌های متعدد دارد. به عنوان مثال در مطالعه دیگری در همین رابطه نشان داده شده بود که آنزیوتانسین II موجب افزایش بیان شدن Vascular endothelial growth factor (Matrix Metallo Proteinase) می‌گردد [۱۹]. باید توجه داشت که این عوامل همگی در رشد و متاباستاز تومورها اهمیّت فراوانی دارند و مطالعات مختلف نقش آن‌ها را در این مورد آشکار کرده‌اند [۲۴،۲۳،۲۲،۸].

از سوی دیگر پیش‌رفت تومور با افزایش برخی اینتگرین‌ها نسبت مستقیمی دارد، مهم‌ترین این اینتگرین‌ها  $\alpha_7\beta_3$ ,  $\alpha_3\beta_1$  است که از اهمیّت خاصی برخوردارند. آنتی‌بادی این اینتگرین‌ها باعث سرکوب پیش‌رفت مهاجرت در ملانوما می‌شود [۲۵].

به عنوان مثال آنتی‌بادی‌های مونوکلونال مهارکننده اینتگرین  $\beta_1$  به میزان قابل توجهی چسبندگی سلول‌های سرطان پستان را کاهش داده‌اند. علاوه بر این، آنتی‌بادی‌های مشابه قادر به ممانعت از تهاجم سلول‌های سرطان پستان انسان از غشای پایه در محیط *in vitro* شده‌اند [۷].

با توجه به مطالب ذکر شده اثر آنزیوتانسین II در افزایش بیان اینتگرین‌ها اهمیّت می‌یابد و به نظر می‌رسد که این فاکتورها بخشی از مکانیسم بعد از گیرنده هستند که موجب

همان‌گونه که در شکل ۴ مشاهده می‌گردد وزارتان با غلظت  $10^{-9}$  مولار به طور کامل مانع از عمل کرد آنزیوتانسین II در افزایش سطح بیان اینتگرین‌های  $\alpha_7$ ,  $\alpha_3$  و  $\beta_3$  می‌شود.

## بحث و نتیجه‌گیری

در این مطالعه با استفاده از سلول‌های B16-F10 در موش‌های C57 تومور ملانوما ایجاد گردید و به عنوان مدل حیوانی برای بررسی اثر وزارتان در مهار رشد تومور مورد استفاده قرار گرفت. علاوه بر آن از سلول‌های کشت شده B16-F10 به عنوان مدل سلولی برای بررسی اثر آنزیوتانسین II بر میزان بیان اینتگرین‌های  $\alpha_7$ ,  $\alpha_3$  و  $\beta_3$  استفاده شد. بر اساس نتایج مطالعه حاضر آنزیوتانسین II نقش مهمی در افزایش سرعت رشد تومور ملانوما دارد. به نظر می‌رسد که بخشی از این اثر مربوط به گیرنده  $AT_1$  می‌باشد و با افزایش اینتگرین‌های  $\alpha_7$ ,  $\alpha_3$  و  $\beta_3$  در سلول‌های تومور ال اعمال می‌گردد.

دو زیرگروه عمده از گیرنده آنزیوتانسین II و  $AT_2$  وجود دارد. در گونه‌های موش گیرنده  $AT_1$  بیش‌تر به  $AT_{1a}$  و  $AT_{1b}$  تقسیم می‌شود. بسیاری از فعالیت‌های آنزیوتانسین II در سیستم قلب و عروق از طریق گیرنده  $AT_1$  صورت می‌گیرد، و در جوندگان به واسطه گیرنده  $AT_{1a}$  است [۱۸]. مقالات متعددی نقش آنزیوتانسین II در رشد تومورهای مختلف را بررسی کرده‌اند [۲۱،۲۰،۱۹،۱۸،۵،۴،۳،۲]. حضور گستره‌ه گیرنده  $AT_1$  و اثر مهارکننده‌های آنزیوتانسین II در رشد و تهاجم سرطان نشان می‌دهد که سیستم رنین آنزیوتانسین در بیولوژی سرطان اهمیّت دارد [۳،۲،۱]. هم‌چنین در سلول‌های ملانومای انسانی گیرنده  $AT_1$  و پروتئین آنزیوتانسین II بیان می‌شوند [۱۳]. در بسیاری از تومورها مهار این گیرنده‌ها و یا کاهش تولید آنزیوتانسین II می‌تواند موجب مهار رگ‌زایی و کاهش رشد تومور گردد. درک این مسئله که استفاده از داروهای مهارکننده تولید یا عمل کرد آنزیوتانسین II می‌تواند به عنوان یک عامل کمکی در درمان سرطان کاربرد داشته باشد موجب شد که بررسی

AT<sub>1</sub> در جلوگیری از رشد تومورهای ملانوما باشد و همچنین مکانیسم اثر آنتیوتانسین II را بر روی رشد و متاستاز تومور تا حدودی روشن می‌نماید. وزارتان که در حال حاضر به عنوان یک دارو در بازار موجود است با توجه به نتایج مطالعه حاضر ممکن است به عنوان دارو کمکی برای سرکوب پیش‌رفت ملانوما در انسان توصیه شود.

## تشکر و قدردانی

بدین‌وسیله از همکاری آقایان دکتر عباسی، دکتر وثوق و آقای غبیبی در مراحل کار با حیوانات آزمایشگاهی تشکر و قدردانی به عمل می‌آید.

## منابع

- [1] Otake AH, Mattar AL, Freitas HC, Machado CM, Nonogaki S, Fujihara CK, et al. Inhibition of angiotensin II receptor 1 limits tumor-associated angiogenesis and attenuates growth of murine melanoma. *Cancer Chemother Pharmacol* 2010; 66: 79-87.
- [2] Ino K, Shibata K, Kajiyama H, Yamamoto E, Nagasaka T, Nawa A, et al. Angiotensin II type 1 receptor expression in ovarian cancer and its correlation with tumour angiogenesis and patient survival. *Br J Cancer* 2006; 94: 552-560.
- [3] Fujita M, Hayashi I, Yamashina S, Itoman M, Majima M. Blockade of angiotensin AT1a receptor signaling reduces tumor growth, angiogenesis, and metastasis. *Biochem Biophys Res Commun* 2002; 294: 441-447.
- [4] Wang L, Cai SR, Zhang CH, He YL, Zhan WH, Wu H, Peng JJ. Effects of angiotensin-converting enzyme inhibitors and angiotensin II type 1 receptor blockers on lymphangiogenesis of gastric cancer in a nude mouse model. *Zhonghua Wei Chang Wai Ke Za Zhi* 2008; 11: 565-568.
- [5] Puddefoot JR, Udeozo UK, Barker S, Vinson GP. The role of angiotensin II in the regulation of breast cancer cell adhesion and invasion. *Endocr Relat Cancer* 2006; 13: 895-903.
- [6] Kawano H, Cody RJ, Graf K, Goetze S, Kawano Y, Schnee J, et al. Angiotensin II enhances integrin and α-Actinin expression in adult rat cardiac fibroblasts. *Hypertension* 2000; 35: 273-279.
- [7] Berry MG, Goode AW, Puddefoot JR, Vinson GP, Carpenter R. Integrin beta 1 upregulation in MCF-7 breast cancer cells by angiotensin II. *Eur J Surg Oncol* 2000; 26: 25-29.
- [8] Kuphal S, Bauer R, Bosserhoff AK. Integrin signaling in malignant melanoma. *Cancer Metastasis Rev* 2005; 24: 195-222.
- [9] Kramer RH, Vu M, Cheng YF, Ramos DM. Integrin expression in malignant melanoma. *Cancer Metastasis Rev* 1991; 10: 49-59.
- [10] Albelda SM, Mette SA, Elder DE, Stewart R, Damjanovich L, Herlyn M, Buck CA. Integrin distribution in malignant melanoma: association of the beta 3 subunit with tumor progression. *Cancer Res* 1990; 50: 6757-6764.
- [11] Guo W, Giancotti FG. Integrin signalling during tumour progression. *Nat Rev Mol Cell Biol* 2004; 5: 816-826.
- [12] Hsueh WA, Law RE, Do YS. Integrins, adhesion, and cardiac remodeling. *Hypertension* 1998; 31: 176-180.
- [13] Takada Y, Ye X, Simon S. The integrins. *Genome Biol* 2007; 8: 215.

اعمال اثر آنتیوتانسین II در افزایش رشد و متاستاز تومور ملانوما می‌شود.

نکته دیگر در این میان این است که تفاوت بین مطالعات روی بافت تومور و سلول‌های کشت داده شده می‌تواند به وجود انواع مختلفی از سلول‌ها در توده تومور ارتباط داشته باشد. گرچه در یک بافت تومور مانند ملانوما بخش قابل توجهی از سلول‌ها، سلول‌های ملانوما می‌باشند [۲۶]، اما کاهش سلول‌های سرطانی در بافت‌های تومور نسبت به مدل کشت سلولی ممکن است باعث کاهش غلظت هر نوع پروتئین بیان شده از سلول‌های سرطانی شود. همچنین این تفاوت اجازه نمی‌دهد که مطالعه روی بافت تومور به طور خاص بر روی سلول‌های بدخیم سرطانی متمرکز شود. این مسئله ضرورت استفاده از روش‌های کشت سلول‌های توموری را در چنین مطالعاتی یادآور می‌شود. از سوی دیگر استفاده از سلول‌های سرطانی کشت داده شده هر گونه تداخل را بین سلول‌های مختلف و عوامل آزادشده در بافت سرطانی حذف می‌کند و این تفاوت‌ها در چگونگی تفسیر و توجیه نتایج آزمایشگاه اهمیت می‌یابند. بنابراین باید در نظر بگیریم که نتایج متفاوت به دست آمده در مطالعات کشت سلولی و بافت تومور نباید لزوماً یکسان باشد و هر کدام به تنها‌بی اهمیت دارد و مکمل هم می‌باشد [۱۹].

مکانیسم اثر آنتیوتانسین II بر بیان ایتنگرین‌ها در سلول‌های ملانومای B16-F10 از طریق فعال شدن گیرنده‌های AT<sub>1</sub> واقع بر روی این سلول‌ها است. گیرنده AT<sub>1</sub> در سلول‌های مختلف در بافت‌های تومور از جمله ماکروفازهای تومور، سلول‌های اندوتیال، سلول‌های عضله صاف عرقوق و سلول‌های ملانوما حضور دارد. بنابراین تجزیه و تحلیل اثر آنتیوتانسین II در برخی از مولکول‌های مهم مانند ایتنگرین‌ها در سلول‌ها و بافت‌های سرطانی ضرورت دارد. اثر آنتیوتانسین II بر سلول‌های ملانوما B16-F10 بیان عوامل مختلفی را افزایش می‌دهد و اثر فزاینده‌ای در رشد تومور و متاستاز دارد. این نتایج ممکن است نشانگر حداقل بخشی از دلیل توانایی وزارتان به عنوان مهارکننده گیرنده

- [21] Rodrigues-Ferreira S, Abdelkarim M, Dillenburg-Pilla P, Luissint AC, di-Tommaso A, Deshayes F, et al. Angiotensin II facilitates breast cancer cell migration and metastasis. *PLoS One* 2012; 7: e35667.
- [22] Pasco S, Ramont L, Maquart FX, Monboisse JC. Control of melanoma progression by various matrikines from basement membrane macromolecules. *Crit Rev Oncol Hematol* 2004; 49: 221-233.
- [23] Williams RN, Parsons SL, Morris TM, Rowlands BJ, Watson SA. Inhibition of matrix metalloproteinase activity and growth of gastric adenocarcinoma cells by an angiotensin converting enzyme inhibitor in vitro and murine models. *Eur J Surg Oncol* 2005; 31: 1042-1050.
- [24] Brinkerhoff CE, Matrisian LM. Matrix metalloproteinase: A tail of a frog that became a prince. *Nat Rev Mol Cell Biol* 2002; 3: 207-214.
- [25] Tsuji T, Kawada Y, Kai-Murozono M, Komatsu S, Han SA, Takeuchi K, et al. Regulation of melanoma cell migration and invasion by laminin-5 and alpha3beta1 integrin (VLA-3). *Cyclin Exp Metastasis* 2002; 19: 127-134.
- [26] Smith LM, Nesterova A, Alley SC, Torgov MY, Carter PJ. Potent cytotoxicity of an auristatin-containing antibody-drug conjugate targeting melanoma cells expressing melanotransferrin/p97. *Mol Cancer Ther* 2006; 5: 1474-1482.
- [14] Mitjans F, Sander D, Adán J, Sutter A, Martinez JM, Jäggel CS, et al. An anti-av-integrin antibody that blocks integrin function inhibits the development of a human melanoma. *J Cell Sci* 1995; 108: 2825-2838.
- [15] Mahabeleshwar GH, Byzova TV. Angiogenesis in Melanoma. *Semin Oncol* 2007; 34: 555-565.
- [16] Ribatti D, Annese T, Longo V. Angiogenesis and melanoma cancers. 2010; 2: 114-132.
- [17] Wang J, Sun L, Myeroff L, Wang X, Gentry LE, Yang J, et al. Demonstration that mutation of the type II transforming growth factor  $\beta$  receptor inactivates its tumor suppressor activity in replication error-positive colon carcinoma cells. *J Biol Chem* 1995; 270: 22044-22049.
- [18] Egami K, Murohara T, Shimada T, Sasaki K, Shintani S, Sugaya T, et al. Role of host angiotensin II type 1 receptor in tumor angiogenesis and growth. *J Clin Invest* 2003; 112: 67-75.
- [19] Akhavan MM, Karimi M, Ghodrati M, Falahtpishe H. AT1 receptors activation enhances the expression of MMP-2, MMP-13 and VEGF but not MMP-9 in B16F10 melanoma cells. *Pak J Biol Sci* 2011; 14: 821-830.
- [20] Ager EI, Neo J, Christophi C. The renin-angiotensin system and malignancy. *Carcinogenesis* 2008; 29: 1675-1684.

## Effects of angiotensin II on expression of $\alpha_3$ , $\alpha_v$ and $\beta_3$ integrin proteins in B16-F10 melanoma cells

Newsha Esfandiary Yeganeh (Pharm.D)<sup>1</sup>, Nazeenik Galustanian (Pharm.D)<sup>1</sup>, Aida Nasirzadeh Goljahi (Pharm.D)<sup>1</sup>, Maryam Ghodrati (B.Sc)<sup>2</sup>, Roobina Boghozian (M.Sc)<sup>3</sup>, Elham Rasouli (Pharm.D)<sup>1</sup>, Elham Abbasi (Pharm.D)<sup>1</sup>, Orkideh Ghorban Dadras (Ph.D)<sup>1</sup>, Maziar Mohammad Akhavan (Ph.D)<sup>\*2</sup>

1 - Pharmaceutical Sciences Branch, Islamic Azad University, Tehran Iran

2 - Skin Research Center- Laboratory of Protein and Enzyme, Shahid Beheshti University (M.C), Shohada-e Tajrish Hospital, Tehran, Iran

3 - Dept. of Immunology, Faculty of Medicine, Tehran University of Medical Sciences, Tehran, Iran

(Received: 3 feb 2013; Accepted: 12 Feb 2013)

**Introduction:** Several reports indicated the role of angiotensin II antagonists in suppression of different tumors. Some of the recent studies point to the increasing effect of angiotensin II on expression of important factors regarding to the tumor growth. Also the role of integrins in growth and metastasis of tumoral cells is very important but the role of angiotensin II in the expression of integrins is not clear yet.

**Materials and Methods:** Melanoma tumors were induced in C57 mice using S.C. injections of B16-F10 cells. Losartan was I.P. injected to C57 mice. Also B16-F10 cells were cultured and incubated with angiotensin II with or without losartan for two hours and the expression of  $\alpha_3$ ,  $\alpha_v$  and  $\beta_3$  integrins were studied using western blotting.

**Results:** Our results indicate the suppressing role of losartan on tumor growth (day17, P=0.013; day18: P=0.0015). In addition angiotensin II increased significantly the expression of studied integrins in B16-F10 cultured cells (integrin  $\alpha V$ : P=0.049; Integrin  $\alpha 3$ : P= 0.016; integrin  $\beta 3$ : P= 0.037), and losartan completely abolished this effect.

**Conclusion:** The role of angiotensin II in tumor growth may be because of reasons including its role in elevating the expression levels of  $\alpha_3$ ,  $\alpha_v$  and  $\beta_3$  integrins. In animal model of melanoma, losartan suppressed the tumor growth through AT1 receptors inhibition. The present study indicates the importance of the drugs such as losartan besides the standard therapeutic approach for tumors.

**Keywords:** Melanoma, Integrin, Angiotensin II, Losartan

\* Corresponding author: Fax: +98 2122744393 ; Tel: +98 2122744394

m\_akhavan@sbmu.ac.ir